



Bioscaffold

RIPARAZIONE DELLA
MATRICE OSSEA &
CARTILLAGINEA

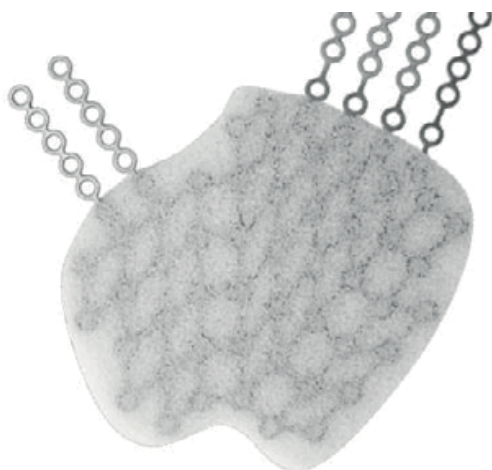
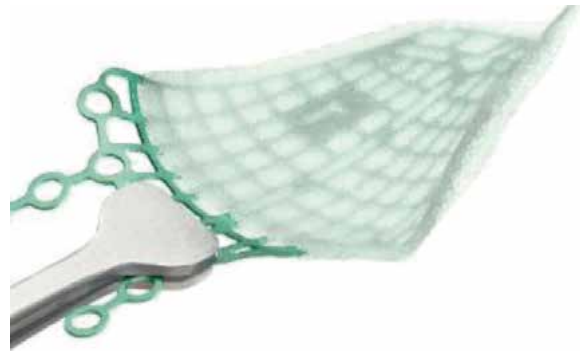
bloocell[®]
the language of technology

20 Years of
Clinical Experience

Bloocell Hybrid

L'impianto HYBRID è realizzato in titanio e materiale polimerico assorbibile.

Il costrutto polimerico, formulato per contenere maglie aperte e chiuse, è costituito da strutture di dimensioni di circa 100-250 µm e collegate tra loro. Questi pori interconnessi promuovono la crescita verso l'interno del tessuto vascolare e il coinvolgimento dell'ospite. La struttura porosa dell'impianto supporta la crescita dei tessuti e fornisce risultati rapidi garantendo l'integrazione e la stabilizzazione.

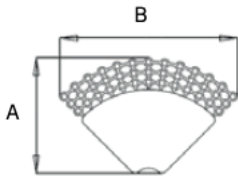


Le piastre rinforzate in titanio di Bloocell[®] Hybrid forniscono una barriera riducendo al minimo la morbidezza. C'è un sottile strato di polimero sugli impianti Bloocell Hybrid.

La superficie superiore riduce al minimo l'adesione del tessuto e la superficie inferiore favorisce la crescita del tessuto vascolare aumentando la struttura porosa.

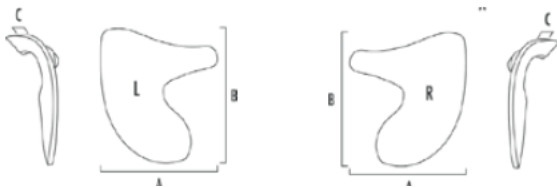
- ▶ La rete in titanio fornisce visibilità radiografica.
- ▶ Le forme anatomiche consentono un "rapido impianto", richiedendo una manipolazione minima.
- ▶ È adatto per la formatura personalizzata.
- ▶ Sono disponibili spessori multipli e modelli specifici per regione anatomica per soddisfare le esigenze cliniche.
- ▶ Il foglio rinforzato aumenta la resistenza e fornisce il contorno.
- ▶ Il foro di fissaggio consente una posizione ottimale della vite per il posizionamento.
- ▶ La sua forma anatomica e il design radiale della rete in titanio riducono al minimo l'opzione di taglio.
- ▶ Esistono diverse opzioni di fissaggio.
- ▶ La proliferazione cellulare è supportata fornendo micromobilità.

Bloocell® Titan W



NR CATALOGO	DESCRIZIONE	A mm	B mm	SPESSORE
52270	Bloocell Titan W	40	60	0.85 mm
52271	Bloocell Titan W	40	60	1.00 mm

Bloocell® Impianto dell'Orbitale Mediale Inferiore



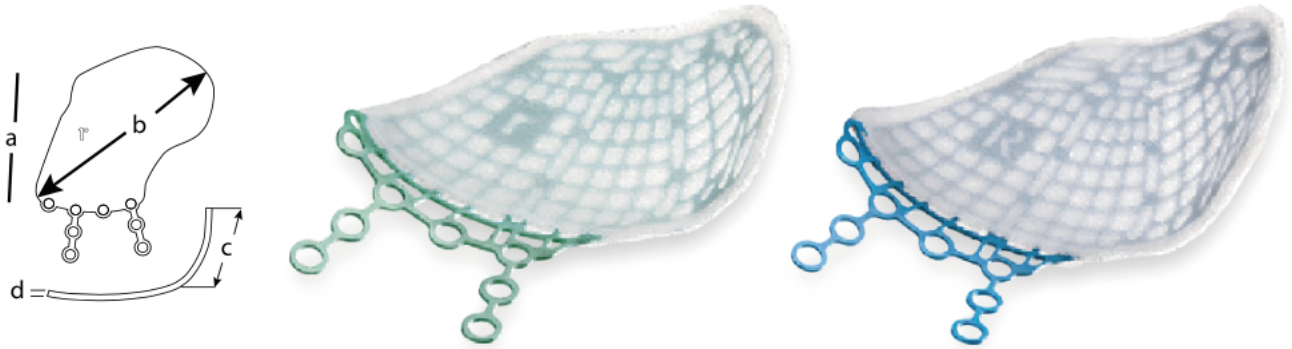
NR CATALOGO	DESCRIZIONE	A mm	B mm	SPESSORE
52288	B-Orbitale Mediale Inferiore Sinistro	25	26	2.50 mm
52289	B-Orbitale Mediale Inferiore Destro	25	26	2.50 mm

Bloocell® Impianto Orbitale Inferiore



NR CATALOGO	DESCRIZIONE	A mm	B mm	SPESSORE
52290	B-Orbitale Inferiore Sinistro	43	18	3.20 mm
52291	B-Orbitale Inferiore Destro	43	18	3.20 mm

Bloocell® Pavimento Orbitale 3D

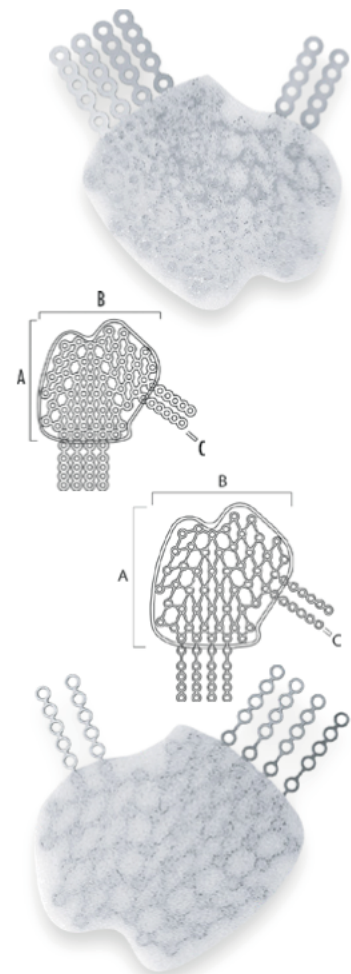


NR. CATALOGO	DESCRIZIONE	A mm	B mm	C mm	D mm
52250	Pavimento Orbitale 3D Piccolo Sinistro	32	35	13	1.2
52251	Pavimento Orbitale 3D Piccolo Destro	32	35	13	1.2
52252	Pavimento Orbitale 3D Grande Sinistro	36	37	17	1.2
52253	Pavimento Orbitale 3D Grande Destro	36	37	17	1.2

Bloocell® T Bital Pavimento e Parete

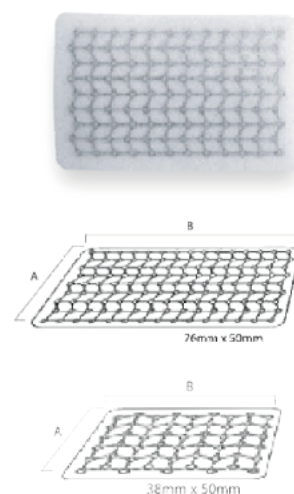
NR. CATALOGO	DESCRIZIONE	A mm	B mm	C mm	Spessore
52254	MAX BTOF	42	41	1.0	0.85 mm
52255	MAX BTOF Sinistro	42	41	1.0	1.0 mm
52256	MAX BTOF Destro	42	41	1.0	1.0 mm

NR. CATALOGO	DESCRIZIONE	A mm	B mm	C mm	Spessore
52257	BTOF	42	41	0.5	0.85 mm
52258	BTOF Sinistro	42	41	0.5	1.0 mm
52259	BTOF Destro	42	41 <td 0.5	1.0 mm	
52260	BT	42	41	0.5	0.6 mm



Bloocell® Impianto in Titanio

NR. CATALOGO	DESCRIZIONE	A mm	B mm	Spessore mm
52260	BTI	50	76	0.85
52261	BTI	38	50	0.85
52262	BTI	38	50	1.50
52263	BTI	50	76	1.50
52264	BTI	38	50	0.60
52265	BTI	50	76	0.60
52266	BTI	38	50	1.00
52267	BTI	50	76	1.00
52268	BTI	38	50	1.60
52269	BTI	50	76	1.60



Indicazioni

- > Ricostruzione degli arti superiori,
- > Ricostruzione dei contorni ossei,
- > Aumento orbitale e rimodellamento facciale.

Controindicazioni

Bloocell® Hybrid non deve essere utilizzato nei seguenti casi:

- > Presenza di infezioni attive o latenti,
- > Mancanza di tessuto sano e vascolarizzato,
- > Disturbi sistemici e/o limitazioni dell'afflusso di sangue, quali può causare una guarigione lenta e aumentare la probabilità di infezione e/o rigetto degli impianti,
- > Tessuto compromesso a causa di trattamenti contro il cancro
- > Qualsiasi processo di malattia degenerativa che possa influire negativamente sul corretto posizionamento degli impianti
- > Applicazioni portanti e sbilanciate.

bloocell

the language of technology

STUDI CLINICI

1)P Yilgor, RA Sousa, RL Reis, N Hasirci... - 3D Plotted PCL Scaffolds for Stem Cell Based Bone Tissue Engineering Macromolecular ..., 2008 - Wiley Online Library

2)Honey Verma¹, Rayapati Dilip Kumar², Prashanth N T³, Shobha E S⁴ Qualitative and Quantitative Analysis of Bone Formation in the Peri-Implant Defects Grafted with Polycaprolactone (Pcl) Alloplast Enriched with Platelet Rich Fibrin (PRF): A Clinical and Radiological Study Int J Dent Med Res | SEPT - OCT 2014

3)Pinar Yilgor Huri^{1,2,10}, Gazi Huri³, Ümit Yasar⁴, Yurdanur Ucar⁵, Nurten Dikmen⁴, Nesrin Hasirci^{2, 6,7,8} and Vasif Hasirci^{2,6,7,9,11} A biomimetic growth factor delivery strategy for enhanced regeneration of iliac crest defects IOPScience 2013 Biomed. Mater. 8 045009

4)P. Yilgor^{1,8}, G. Yilmaz², M. B. Onal³, I. Solmaz³, S. Gundogdu⁴, S. Keskil⁵, R. A. Sousa⁶, R. L. Reis⁶, N. Hasirci^{1,7,8} and V. Hasirci^{1,8,9*} An in vivo study on the effect of scaffold geometry and growth factor release on the healing of bone defects JOURNAL OF TISSUE ENGINEERING AND REGENERATIVE MEDICINE Tissue Eng Regen Med (2012)

5)Pinar Yilgor • Rui A. Sousa • Rui L. Reis • Nesrin Hasirci • Vasif Hasirci Effect of scaffold architecture and BMP-2/ BMP-7 delivery on in vitro bone regeneration Received: 12 March 2010 / Accepted: 7 August 2010 / Published online: 26 August 2010 Springer Science+Business Media, LLC 2010

6)Joshua P. Temple^{1,2*}, Daphne L. Hutton^{1,2*}, Ben P. Hung^{1,2}, Pinar Yilgor Huri^{1,2}, Colin A. Cook^{1,2}, Renu Kondragunta^{1,2}, Xiaofeng Jia², Warren L. Grayson^{1,2} Engineering anatomically shaped vascularized bone grafts with hASCs and 3D-printed PCL scaffolds 3 Biomed Mater Res Part A 2014:00A:000-000.

DISTRIBUTORE ESCLUSIVO PER L'ITALIA

Farma Bio Technology srl

Via Brennero, 139

38121 Trento (TN)

Tel. 0461402149 / Email. info@farmabiotechnology.it

Factory: Hanlıköy Mahallesi Akgün Caddesi No:1 Arifiye / SAKARYA
Laboratory: Center for Life Sciences and Technology, Boğaziçi University, ISTANBUL